

Федеральное государственное автономное образовательное  
учреждение высшего образования

САНКТ-ПЕТЕРБУРГСКИЙ НАЦИОНАЛЬНЫЙ  
ИССЛЕДОВАТЕЛЬСКИЙ УНИВЕРСИТЕТ ИТМО

Факультет систем управления и робототехники

Лабораторная работа №1

**РЯДЫ ФУРЬЕ**

Студент: Загайнов А.А  
Поток: ЧАСТ.МЕТ. 1.2

Преподаватели: Перегудин А.А.  
Пашенко А.В.

Санкт-Петербург  
2025

## Содержание

<b>Задание №1.</b>	<b>3</b>
Подготовка. Выбираем числа . . . . .	3
Начинаем. Квадратная волна . . . . .	3
Ручные вычисления . . . . .	4
Программа . . . . .	5
Графики . . . . .	7
Продолжаем. Четная функция . . . . .	8
Программные расчеты . . . . .	9
Графики . . . . .	9
Не сбавляем темп. Нечетная функция . . . . .	11
Программные расчеты . . . . .	11
Графики . . . . .	12
(Не)нечетная и (не)четная функция . . . . .	13
Считаем . . . . .	13
Графики . . . . .	13
<b>Задание №2. Комплексная функция</b>	<b>15</b>
Ручной счет . . . . .	16
Пункт для программы . . . . .	17
Графики . . . . .	18
<b>Подводим выводы, подытоживаем итоги</b>	<b>21</b>

## Задание №1.

### Подготовка. Выбираем числа

Для наших будущих функций нам нужно подобрать какие нибудь приятные числа

$$a = 4 \quad b = 1 \quad t_0 = 2 \quad t_1 = 4 \quad t_2 = 8$$

### Начинаем. Квадратная волна

На основе подобранных чисел зададим функцию:

$$f(t) = \begin{cases} 4, & t \in [2, 4), \\ 1, & t \in [4, 8). \end{cases}$$

Попробуем визуализировать периодически данную функцию на числовой прямой:

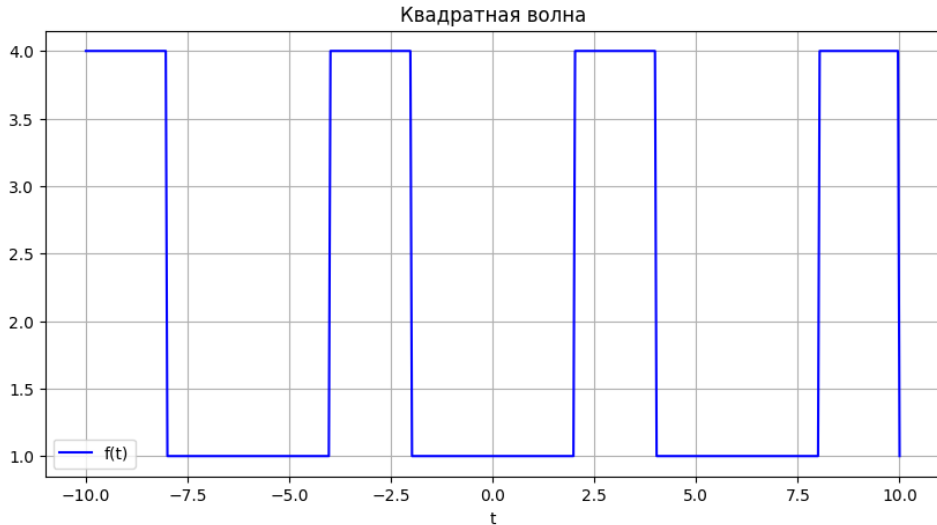


Рис. 1: График функции  $f(t)$

Не останавливаемся на графике, продолжаем. Разберемся теперь частичными суммами ряда Фурье  $F_n$  и  $G_n$

$$F_n(t) = \frac{a_0}{2} + \sum_{n=1}^N (a_n \cos(\omega_n t) + b_n \sin(\omega_n t))$$

$$G_n(t) = \sum_{n=-N}^N c_n e^{i\omega_n t}$$

Где  $\omega_n$  мы подразумеваем равной  $\frac{2\pi n}{T}$ , а  $T = 5$

Коэффициенты высчитываем по этим формулам:

$$a_n = \frac{2}{T} \int_{x_0}^{x_0+T} f(x) \cos(\omega_n x) dx \Rightarrow a_0 = \frac{2}{T} \int_{x_0}^{x_0+T} f(x) dx$$

$$b_n = \frac{2}{T} \int_{x_0}^{x_0+T} f(x) \sin(\omega_n x) dx \quad (b_0 = 0)$$

$$c_n = \frac{1}{T} \int_{t_0}^{t_0+T} f(t) e^{-i\omega_n t} dt$$

### Ручные вычисления

Для нашей функции посчитаем частичные суммы для  $N = 2$ . Для упрощения расчетов, будем делить интервал кусочно-непрерывной функции на две части

Начнем считать коэффициенты:

$$\begin{aligned} a_0 &= \frac{2}{6} \left( \int_2^4 4 dt + \int_4^8 1 dt \right) = \frac{1}{3} (16 - 8 + 8 - 4) = \frac{12}{3} = \boxed{4} \\ a_1 &= \frac{2}{6} \left( \int_2^4 4 \cos \frac{2\pi t}{6} dt + \int_4^8 1 \cos \frac{2\pi t}{6} dt \right) = \frac{1}{3} \left( \left| \frac{12 \sin \frac{\pi t}{3}}{\pi} \right|_2^4 + \left| \frac{3 \sin \frac{\pi t}{3}}{\pi} \right|_4^8 \right) = \\ &\frac{1}{3} \left( \frac{12}{\pi} (\sin \frac{4\pi}{3} - \sin \frac{2\pi}{3}) + \frac{3}{\pi} (\sin \frac{8\pi}{3} - \sin \frac{4\pi}{3}) \right) = \frac{1}{3} \left( -\frac{12\sqrt{3}}{\pi} + \frac{3\sqrt{3}}{\pi} \right) = \boxed{-\frac{3\sqrt{3}}{\pi}} \\ a_2 &= \frac{2}{6} \left( \int_2^4 4 \cos \frac{4\pi t}{6} dt + \int_4^8 1 \cos \frac{4\pi t}{6} dt \right) = \frac{1}{3} \left( \left| \frac{6 \sin \frac{2\pi t}{3}}{\pi} \right|_2^4 + \left| \frac{3 \sin \frac{2\pi t}{3}}{2\pi} \right|_4^8 \right) = \\ &\frac{1}{3} \left( \frac{6}{\pi} (\sin \frac{8\pi}{3} - \sin \frac{4\pi}{3}) + \frac{3}{2\pi} (\sin \frac{16\pi}{3} - \sin \frac{8\pi}{3}) \right) = \frac{1}{3} \left( \frac{12\sqrt{3}}{2\pi} - \frac{3\sqrt{3}}{2\pi} \right) = \boxed{\frac{3\sqrt{3}}{2\pi}} \end{aligned}$$

Теперь найдём  $a_3$ , при котором  $\omega_3 = 2\cdot\frac{2\pi}{6} = \pi$ :

$$a_3 = \frac{2}{6} \left( \int_2^4 4 \cos \pi t dt + \int_4^8 \cos \pi t dt \right) = \frac{1}{3} \left( \left| 4 \frac{\sin \pi t}{\pi} \right|_2^4 + \left| \frac{\sin \pi t}{\pi} \right|_4^8 \right) = \boxed{0} \quad \text{т.к. } \forall t, k \in \mathbb{Z}: \sin 2k\pi t = 0$$

Становится понятно, что все коэффициенты  $a_n$  при  $n \neq 3$  равны нулю. Теперь найдём коэффициенты  $b_n$ :

$$\begin{aligned} b_1 &= \frac{2}{6} \left( \int_2^4 4 \sin \frac{2\pi t}{6} dt + \int_4^8 \sin \frac{2\pi t}{6} dt \right) = -\frac{1}{3} \left( \left| \frac{12 \cos \frac{\pi t}{3}}{\pi} \right|_2^4 + \left| \frac{3 \cos \frac{\pi t}{3}}{\pi} \right|_4^8 \right) = \\ &-\frac{1}{3} \left( \frac{12}{\pi} (\cos \frac{4\pi}{3} - \cos \frac{2\pi}{3}) + \frac{3}{2\pi} (\cos \frac{4\pi}{3} - \cos \frac{2\pi}{3}) \right) = -\frac{1}{3} \left( \frac{12}{\pi} \left( -\frac{1}{2} - \left( -\frac{1}{2} \right) \right) + \frac{3}{2\pi} \left( -\frac{1}{2} - \left( -\frac{1}{2} \right) \right) \right) = \boxed{0} \\ b_2 &= \frac{1}{3} \left( \int_2^4 4 \sin \frac{2\pi t}{3} dt + \int_4^8 \sin \frac{2\pi t}{3} dt \right) = \boxed{0} \quad \text{т.к. косинусы вновь взаимно уничтожат друг друга.} \end{aligned}$$

Получается, что все коэффициенты  $b_n$  равны нулю. Это и логично, ведь функция четная и она полностью раскладывается по косинусам. Дальше  $c_n$ :

$$c_0 = \frac{1}{6} \left( \int_2^4 4 dt + \int_4^8 1 dt \right) = \frac{a_0}{2} = \boxed{2}$$

Для коэффициентов  $c_n$  будет использоваться свойство  $e^{2ki\pi} = 1 \forall k \in \mathbb{Z}$ , связанное с кратностью  $\cos 2k\pi t = 1$  и  $\sin 2k\pi t = 0$ .

$$c_1 = \frac{1}{6} \left( \int_2^4 4 e^{-\frac{\pi i t}{3}} dt + \int_4^8 e^{-\frac{\pi i t}{3}} dt \right) = \frac{1}{6} \left( -\frac{12}{\pi i} e^{-\frac{\pi i t}{3}} \Big|_2^4 - \frac{3}{\pi i} e^{-\frac{\pi i t}{3}} \Big|_4^8 \right) = \frac{2i}{\pi} \left( e^{-\frac{4\pi i}{3}} - e^{-\frac{2\pi i}{3}} \right) + \frac{i}{2\pi} \left( e^{-\frac{8\pi i}{3}} - e^{-\frac{4\pi i}{3}} \right) =$$

$$\begin{aligned}
&= \frac{2i}{\pi} \left( e^{\frac{2\pi i}{3}} - e^{-\frac{2\pi i}{3}} \right) + \frac{i}{2\pi} \left( e^{-\frac{2\pi i}{3}} - e^{\frac{2\pi i}{3}} \right) = e^{\frac{2\pi i}{3}} \left( \frac{2i}{\pi} - \frac{i}{2\pi} \right) + e^{-\frac{2\pi i}{3}} \left( \frac{i}{2\pi} - \frac{2i}{\pi} \right) = \frac{3i}{2\pi} e^{\frac{2\pi i}{3}} - \frac{3i}{2\pi} e^{-\frac{2\pi i}{3}} = \\
&\boxed{\frac{3i}{2\pi} \left( e^{\frac{2\pi i}{3}} - e^{-\frac{2\pi i}{3}} \right)} \\
c_2 &= \frac{1}{6} \left( \int_2^4 4 e^{-\frac{2\pi it}{3}} dt + \int_4^8 e^{-\frac{2\pi it}{3}} dt \right) = \frac{1}{6} \left( -\frac{6}{\pi i} e^{-\frac{2\pi it}{3}} \Big|_2^4 - \frac{3}{2\pi i} e^{-2\frac{\pi it}{3}} \Big|_4^8 \right) = \frac{i}{\pi} \left( e^{-\frac{8\pi i}{3}} - e^{-\frac{4\pi i}{3}} \right) + \frac{i}{4\pi} \left( e^{-\frac{16\pi i}{3}} - e^{-\frac{8\pi i}{3}} \right) = \\
&\frac{i}{\pi} \left( e^{-\frac{2\pi i}{3}} - e^{\frac{2\pi i}{3}} \right) + \frac{i}{4\pi} \left( e^{\frac{2\pi i}{3}} - e^{-\frac{2\pi i}{3}} \right) = e^{\frac{2\pi i}{3}} \left( \frac{i}{4\pi} - \frac{i}{\pi} \right) + e^{-\frac{2\pi i}{3}} \left( \frac{i}{\pi} - \frac{i}{4\pi} \right) = -\frac{3i}{4\pi} e^{\frac{2\pi i}{3}} + \frac{3i}{4\pi} e^{-\frac{2\pi i}{3}} = \boxed{\frac{3i}{4\pi} \left( e^{-\frac{2\pi i}{3}} - e^{\frac{2\pi i}{3}} \right)}
\end{aligned}$$

Хоть мы и знаем, заглядывая наперёд, что  $c_3 = c_{-3} = 0$ , давайте всё же проверим себя, вычислив  $c_3$ :

$$\begin{aligned}
c_3 &= \frac{1}{6} \left( \int_2^4 4 e^{-\pi it} dt + \int_4^8 e^{-\pi it} dt \right) = \frac{1}{3} \left( -\frac{4}{\pi i} e^{-\pi it} \Big|_2^4 - \frac{1}{\pi i} e^{-\pi it} \Big|_4^8 \right) = \frac{1}{3} \left( \frac{4i}{\pi} (e^{-4\pi i} - e^{-2\pi i}) + \frac{i}{\pi} (e^{-8\pi i} - e^{-4\pi i}) \right) = \\
&\frac{1}{3} \left( \frac{4i}{\pi} (1 - 1) + \frac{i}{\pi} (1 - 1) \right) = \boxed{0}
\end{aligned}$$

## Программа

Вот и программа, что позволит сейчас посчитать нам коэффициенты, а в будущем невероятно упростит жизнь  $n$ .

```

1 from typing import Callable
2
3 import numpy as np
4
5 class FourierSeries:
6     def __init__(self, func, period, num_points=2000):
7         self.func = func
8         self.period = period
9         self.num_points = num_points
10
11     def dot_product(self, f, g):
12         t = np.linspace(0, self.period, self.num_points, endpoint=False)
13         f_vals = f(t)
14         g_vals = g(t)
15         return np.trapz(f_vals * g_vals, t)
16
17     def real_coefficients(self, N):
18         t = np.linspace(0, self.period, self.num_points, endpoint=False)
19         f_vals = self.func(t)
20         dt = self.period / self.num_points
21         a0 = (2.0 / self.period) * np.trapz(f_vals, t)
22         a_n = np.zeros(N)
23         b_n = np.zeros(N)
24
25         for n in range(1, N + 1):
26             omega_n = 2 * np.pi * n / self.period
27             cos_n = np.cos(omega_n * t)
28             sin_n = np.sin(omega_n * t)
29             a_n[n - 1] = (2.0 / self.period) * np.trapz(f_vals * cos_n, t)
30             b_n[n - 1] = (2.0 / self.period) * np.trapz(f_vals * sin_n, t)
31
32         return a0, a_n, b_n
33
34     def complex_coefficients(self, N):
35         t = np.linspace(0, self.period, self.num_points, endpoint=False)
36         f_vals = self.func(t)
37         dt = self.period / self.num_points
38         c_full = np.zeros(2 * N + 1, dtype=complex)
39         c_mid = N

```

```

40     c_full[c_mid] = (2.0 / self.period) * np.trapz(f_vals, t) / 2.0
41
42     for n in range(1, N + 1):
43         omega_n = 2.0 * np.pi * n / self.period
44         exp_n = np.exp(-1j * omega_n * t)
45         c_full[c_mid + n] = (1 / self.period) * np.trapz(f_vals * exp_n, t)
46         c_full[c_mid - n] = np.conjugate(c_full[c_mid + n])
47
48     return c_full
49
50 def parseval_check(self, N: int) -> tuple[float, float]:
51     t = np.linspace(0, self.period, self.num_points, endpoint=False)
52     dt = self.period / self.num_points
53     f_vals = self.func(t)
54
55     energy_original = np.trapz(f_vals**2, dx=dt)
56     a0, a_n, b_n = self.real_coefficients(N)
57     energy_real = (a0**2) / 2
58     for n in range(1, N + 1):
59         energy_real += abs(a_n[n-1]**2) + b_n[n-1]**2
60     c_full = self.complex_coefficients(N)
61     energy_complex = np.sum(np.abs(c_full)**2) * self.period
62
63     return np.abs(energy_original - energy_real), np.abs(energy_original - energy_complex)

```

Листинг 1: Вычисление коэффициентов Фурье для кусочной функции

Итак, программа выведет нам первые шесть коэффициентов Фурье для функции  $f(t)$ , среди которых есть и необходимые по заданию  $a_3$ ,  $b_3$  и  $c_3$  — хотя они всё равно равны нулю, чего тут смотреть :)

```

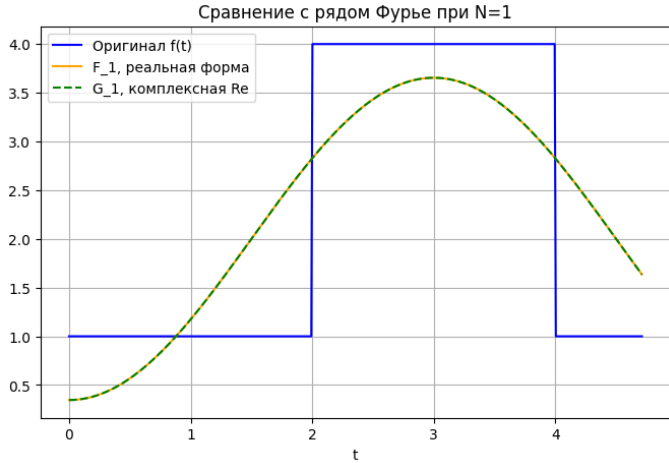
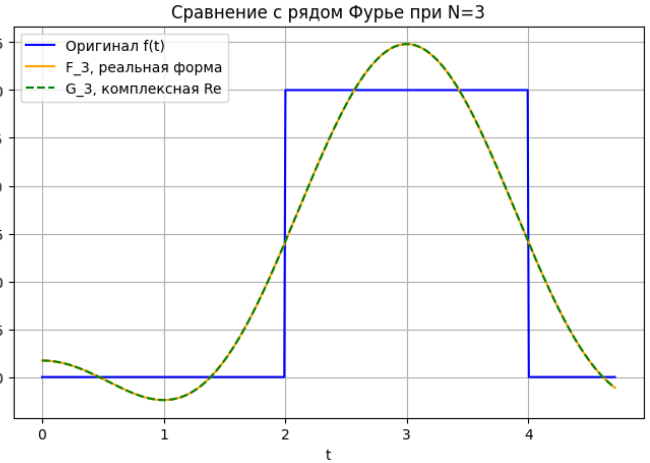
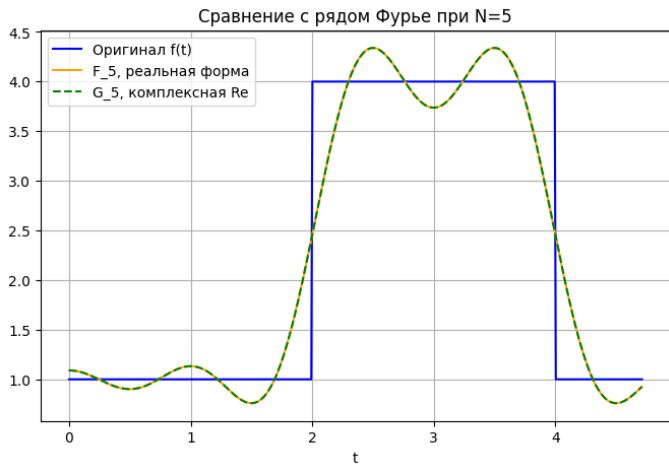
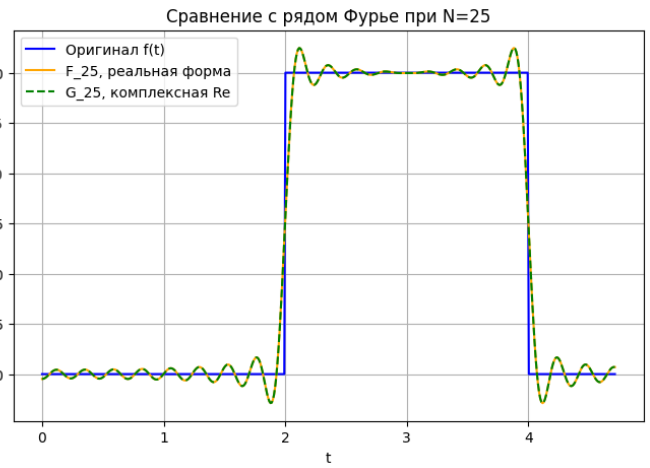
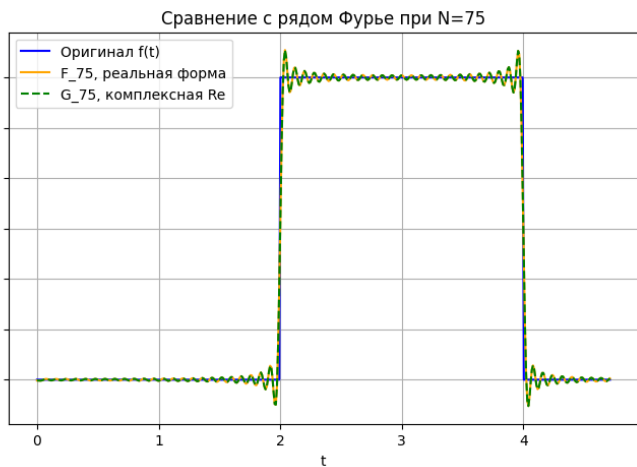
1 a_0 = 4.000
2 -----
3 a_n = [-1.654087 0.826893 -0.000400]
4 -----
5 b_n = [0.000000 0.000000 0.000000]
6 -----
7 c_n = [-0.00020+0.00000j 0.41345+0.00000j -0.82704+0.00000j 1.99980+0.00000j -0.82704-0.00000j
        0.41345-0.00000j -0.00020-0.00000j]
8 -----

```

Листинг 2: Вывод программы

### Графики

Воспользуемся этими коэффициентами для построения графиков  $F_n$  и  $G_n$  рядов Фурье для функции  $f(t)$ :

Рис. 2:  $n = 1$ Рис. 3:  $n = 3$ Рис. 4:  $n = 5$ Рис. 5:  $n = 25$ Рис. 6:  $n = 75$

Как мы видим, ряды Фурье  $F_n(t)$  и  $G_n(t)$  совпадают и хорошо аппроксимируют функцию  $f(t)$  и если бы не эффект Гиббса, которого не избежать тут, делали бы это почти идеально

Чтобы убедиться в том, что при  $n = 50$  ряд Фурье действительно хорошо приближается к функции  $f(t)$ , проверим равенство Парсеваля

Ошибка по Парсевалю (тригонометрическая форма): 0.073526  
Ошибка по Парсевалю (комплексная форма): 0.073526

Листинг 3: Равенство Парсеваля при  $n = 75$

Низкий уровень ошибки по Парсевалю подтверждает нашу позицию хорошей аппроксимации функции!

### Продолжаем. Четная функция

Возьмем в качестве подопытного четную функцию  $f(t) = \sin^6(t) \cos(t)$ . Начнем с графика:

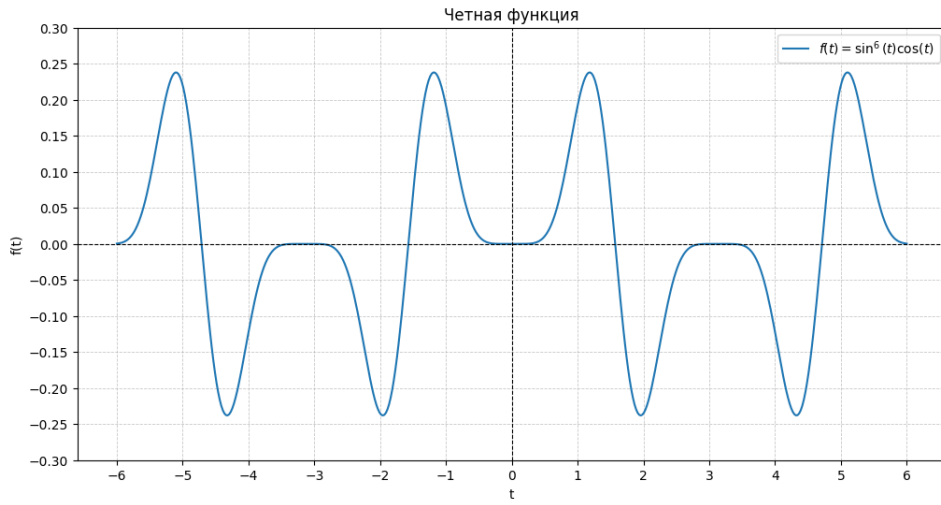


Рис. 7: График функции  $f(t)$

Теперь на очереди вычисление коэффициентов. С четной вещественной функцией легко, ее коэффициенты  $b_n = 0$  а  $c_n = \overline{c_{-n}}$  Формулы будем использовать следующие:

$$a_n = \frac{1}{\pi} \int_{-\pi}^{\pi} \sin^6(t) \cos(t) \cos(nt) dt$$

$$c_n = \frac{1}{2\pi} \int_{-\pi}^{\pi} \sin^6(t) \cos(t) e^{-int} dt$$

### Программные расчеты

Воспользуемся старым кодом и расчитаем коэффициенты при  $N=3$

```
1 def even_function(t):
2     return np.sin(t)**8 * np.cos(t)
```

Листинг 4: Вычисление коэффициентов Фурье для функции  $\sin^6(t) \cos(t)$

Получаем первые коэффициенты  $a_3$ ,  $b_3$  и  $c_3$  и уже начинаем радоваться:

```
1 a_0 = -0.000
2 -----
3 a_n = [0.054688 -0.000000 -0.109375]
4 -----
5 b_n = [0.000000 0.000000 0.000000]
6 -----
7 c_n = [-0.05469+0.00000j 0.00000-0.00000j 0.02734-0.00000j -0.00000+0.00000j 0.02734+0.00000j
        0.00000+0.00000j -0.05469-0.00000j]
```

Листинг 5: Вывод программы

Радуемся, ведь действительно коэффициенты  $b_n$  оказались равными нулю.

### Графики

Воспользуемся этими коэффициентами для построения графиков тригонометрического  $F_n$  и экспоненциального  $G_n$  рядов Фурье для функции  $f(x)$ :

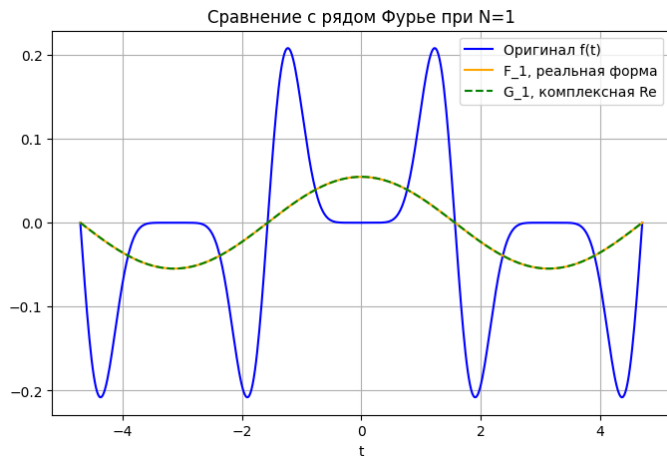


Рис. 8:  $n = 1$

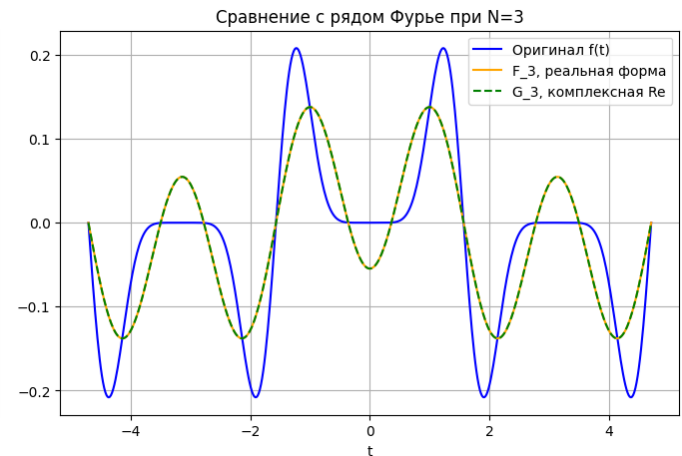


Рис. 9:  $n = 3$

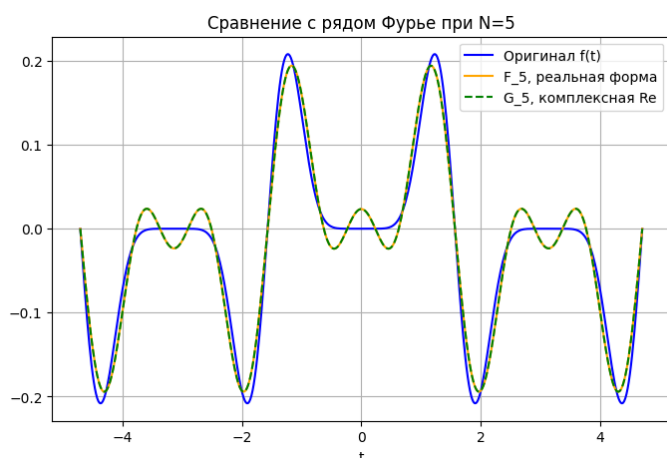


Рис. 10:  $n = 5$

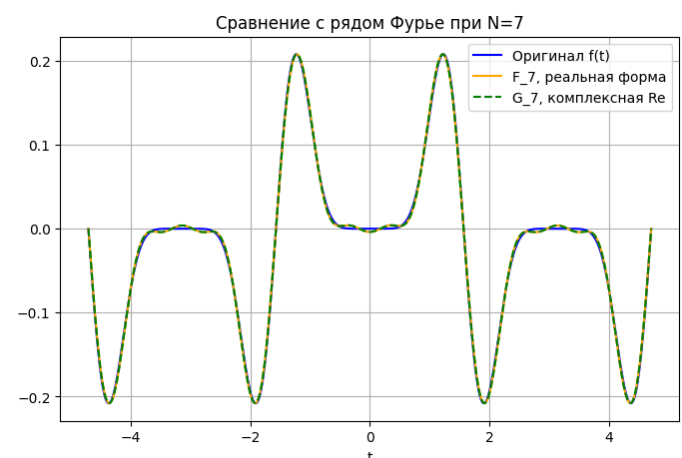
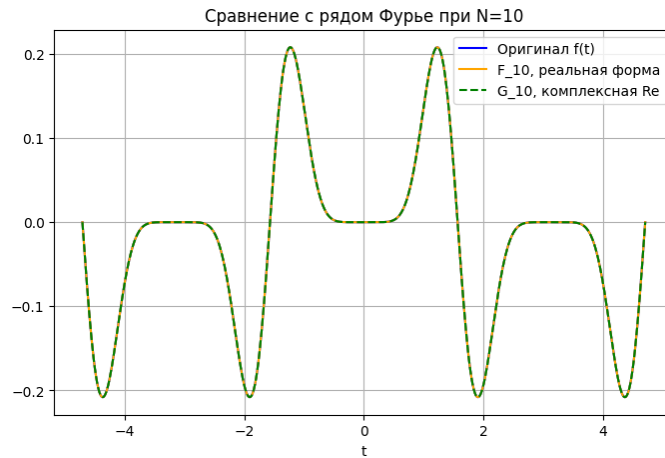


Рис. 11:  $n = 7$

Рис. 12:  $n = 10$ 

Опять убедимся, что графики рядов Фурье  $F_n(t)$  и  $G_n(t)$  совпадают. Функция  $f(t)$  проста, потому уже  $n = 7$  было достаточно, чтобы довольно точно описать график функции, а  $n = 10$  описывает функцию почти идеально. Наконец, давайте проверим как выполняется равенство Парсеваля для  $n = 10$ , чтобы подкрепить слова о точности на практике:

```
1 Parseval check Fn: 0.001323
2 Parseval check Gn: 0.000001
```

Листинг 6: Равенство Парасеваля при  $n = 10$ 

Мы видим, что равенство Парсеваля для косплексного разложения выполняется так хорошо, ошибка почти равна нулю. Для вещественного же ситуация не хуже и тоже показывает прекрасный результат. Интереса ради проверим выполнение равенства для комплексного разложения при  $N = 7$

```
1 Parseval check Gn: 0.00005
```

Листинг 7: Равенство Парасеваля при  $n = 7$ 

Видим, что все таки наши вычисления реалистичны, и при  $N = 7$  определенная погрешность все же наблюдается, ее мы можем видеть и на графике

## Не сбавляем темп. Нечетная функция

В качестве нечетной функции я возьму  $f(t) = 8 \sin(t) \cos^3(t)$ . Начнем с графика:

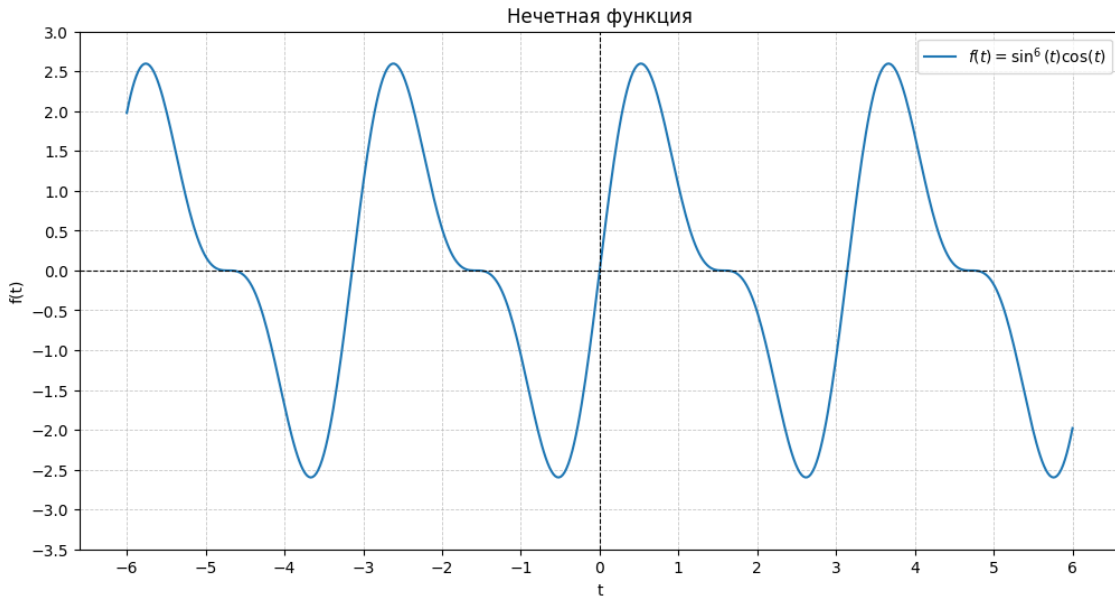


Рис. 13: График функции  $f(t)$

Период функции  $f(x)$  равен  $T = \pi \Rightarrow \omega_n = 2n$ . Пора опять подсчитать все нужные нам коэффициенты, перед этим стоит отметить, что мы имеем дело с нечетной функцией - потому коэффициенты  $a_n$  будут равны нулю. Таким образом нам понадобится две формулы

$$b_n = \frac{2}{\pi} \int_0^\pi (8 \sin(x) \cos^3(x)) \sin(2nx) dx \quad c_n = \frac{1}{\pi} \int_0^\pi (8 \sin(x) \cos^3(x)) e^{-2int} dx$$

## Программные расчеты

Считаем коэффициенты

```
1 def odd_function(t):
2     return 8*np.sin(t) * np.cos(t)**3
```

Листинг 8: Вычисление коэффициентов Фурье для функции  $f()$

Получим первые 5 коэффициентов для разложения  $F_n$  и 6 для  $G_n$ :

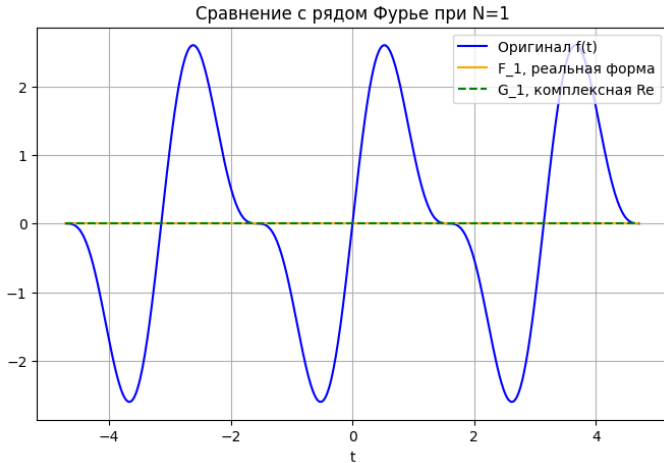
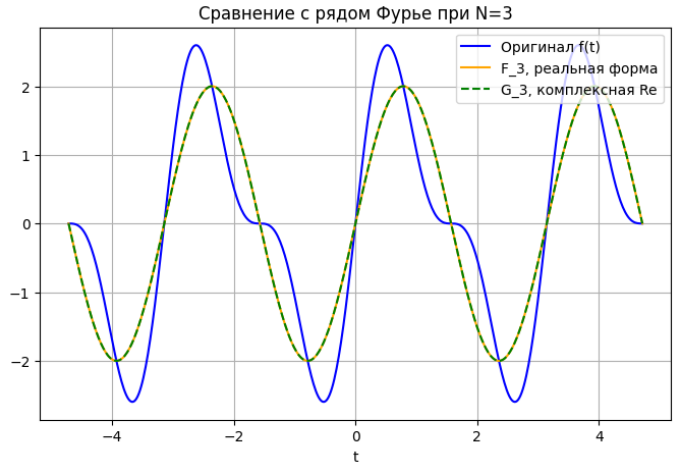
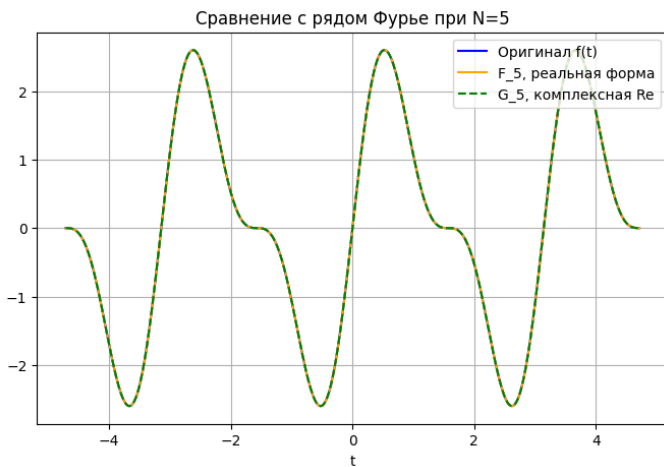
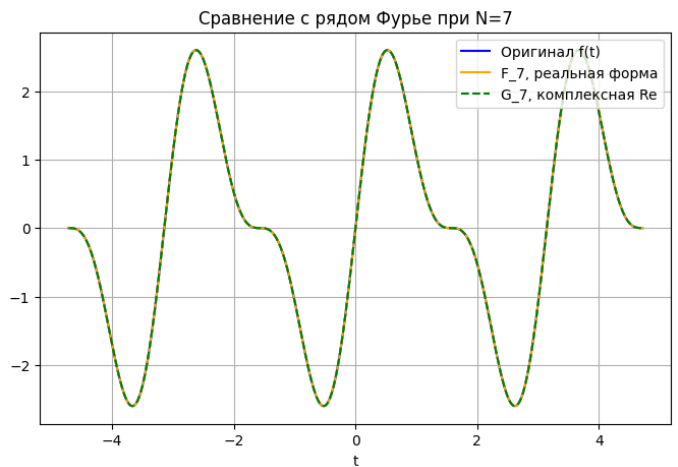
```
1 a_0 = 0.000
2 -----
3 a_n = [0.000013  0.000013  0.000013  0.000013  0.000013]
4 -----
5 b_n = [-0.000000  2.000000  -0.000000  1.000000  -0.000000]
6 -----
7 c_n = [0.00001-0.00000j  0.00001+1.00000j  0.00001-0.00000j  0.00001+0.00000j  0.00001+0.00000j
        0.00001-1.00000j  0.00001+0.00000j]
```

Листинг 9: Вывод программы

Со скидкой на погрешность вычислений, коэффициенты  $a_n$  и правда оказались равны нулю. Как и  $c_n$  в придачу

### Графики

Воспользуемся этими коэффициентами для построения графиков тригонометрического  $F_n$  и экспоненциального  $G_n$  рядов Фурье для функции  $f(x)$ :

Рис. 14:  $n = 1$ Рис. 15:  $n = 3$ Рис. 16:  $n = 5$ Рис. 17:  $n = 7$ 

Нечетная функция вышла достаточно простой, и графики рядов Фурье прекрасно ложатся на оригинальную функцию. Достаточно  $n = 5$  для хорошего приближения, потому выбирать какие то большие числа далее не имеет смысла. Чтобы убедиться в том, что при  $n = 7$  ряд Фурье аппроксимирует функцию  $f(x)$  очень точно, проверим равенство Парсеваля

```
1 Parseval check Fn: 0.000000103
2 Parseval check Gn: 0.000000098
```

Листинг 10: Равенство Парсеваля при  $n = 7$ 

Результаты проверки точности равенства Парсеваля еще раз подкрепили наш результат, оба ряда Фурье прекрасно аппроксимируют функцию, разве что вычислительные изъяны при вычислении равенства Парсеваля для вещественного ряда немного портят картину

## (Не)нечетная и (не)четная функция

В этом пункте мы обратимся к какой нибудь менее привычной периодической функции:

$$f(t) = 2 \sin\left(\frac{t}{3}\right) + 2 \cos^5(4t) + 1$$



Рис. 18: График функции  $f(t)$

Период функции  $f(t)$  равен  $T = 6\pi \Rightarrow \omega_n = \frac{n}{3}$ . Найдём коэффициенты Фурье для функции с помощью уже написанной программы, но перед этим взглянем на то, как вычисляются коэффициенты  $a_n$ ,  $b_n$  и  $c_n$  в общем виде:

$$a_n = \frac{1}{3\pi} \int_0^{6\pi} \left(2 \sin\left(\frac{t}{3}\right) + 2 \cos^5(4t) + 1\right) \cos\left(\frac{nx}{3}\right) dx \quad b_n = \frac{1}{3\pi} \int_0^{6\pi} \left(2 \sin\left(\frac{t}{3}\right) + 2 \cos^5(4t) + 1\right) \sin\left(\frac{nx}{3}\right) dx$$

$$c_n = \frac{1}{6\pi} \int_0^{6\pi} \left(2 \sin\left(\frac{t}{3}\right) + 2 \cos^5(4t) + 1\right) e^{-\frac{inx}{3}} dx$$

### Считаем

Вводим характеристики функции нашей программе

```
1 def my_function(t):
2     return 2*np.sin(t/3)+2*np.sin(4*t)**5 + 1
```

Листинг 11: Вычисление коэффициентов Фурье для функции  $f(x)$

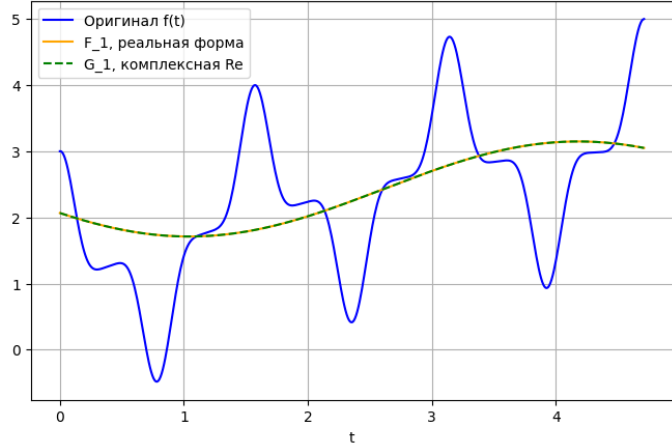
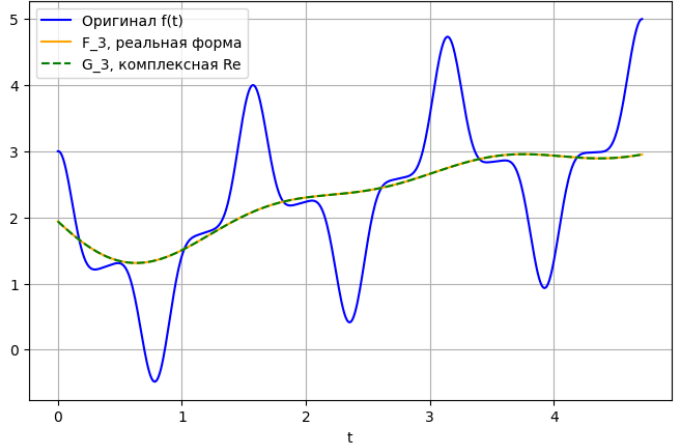
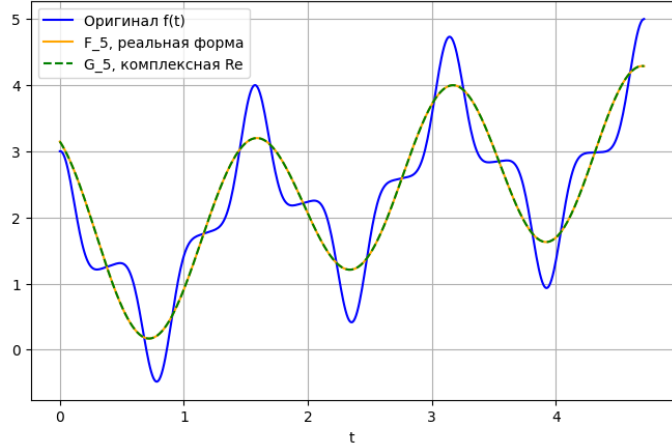
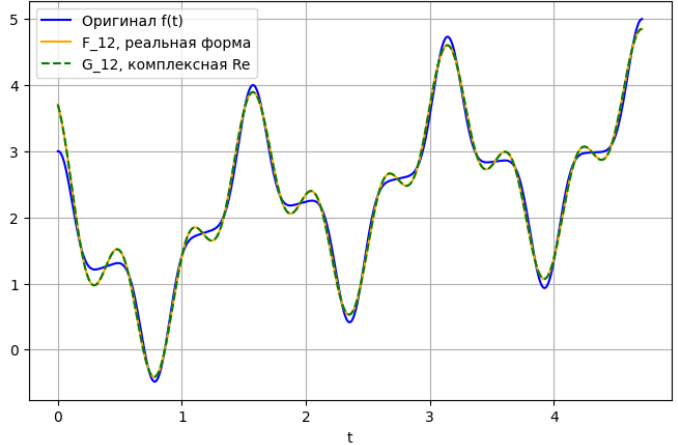
Программа вновь выводит нам первые 5 коэффициента Фурье:

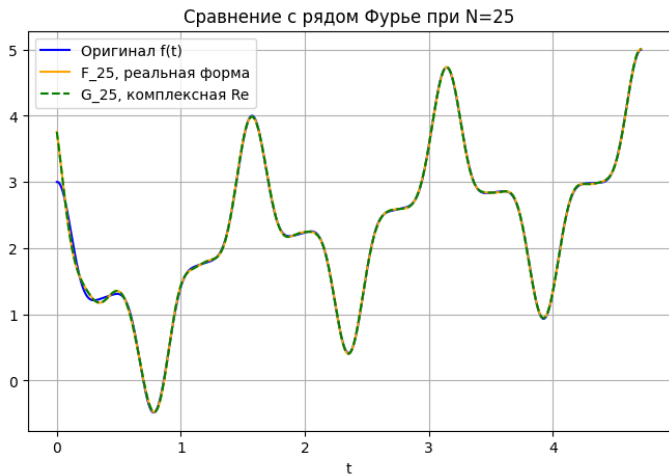
```
1 a_0 = 4.862
2 -----
3 a_n = [-0.360831 -0.084584 -0.038543 -0.022766 -0.015522]
4 -----
5 b_n = [-0.620240 -0.283531 -0.186059 1.111223 -0.110734]
6 -----
7 c_n = [-0.01927-0.09303j -0.04229-0.14177j -0.18042-0.31012j 2.43103+0.00000j -0.18042+0.31012j
         -0.04229+0.14177j -0.01927+0.09303j]
```

Листинг 12: Вывод программы

### Графики

Воспользуемся этими коэффициентами для построения графиков тригонометрического  $F_n$  и экспоненциального  $G_n$  рядов Фурье для функции  $f(x)$ :

Сравнение с рядом Фурье при  $N=1$ Рис. 19:  $n = 1$ Сравнение с рядом Фурье при  $N=3$ Рис. 20:  $n = 3$ Сравнение с рядом Фурье при  $N=5$ Рис. 21:  $n = 5$ Сравнение с рядом Фурье при  $N=12$ Рис. 22:  $n = 12$

Рис. 23:  $n = 25$ 

Аппроксимировать эту функцию было тяжелее всего, но все же даже ее ряд Фурье  $n > 20$  "переваривает" спокойно. Чтобы убедиться в том, что при  $n = 25$  ряд Фурье аппроксимирует функцию  $f(x)$  достаточно точно, проверим равенство Парсеваля

```
1 Parseval check Fn: 0.0971634136
2 Parseval check Gn: 0.0813071454
```

Результат не так радужен как обычно, даже это уже

Листинг 13: Равенство Парасеваля при  $n = 25$

серьезный результат для уверенности - рано или поздно ошибка равенства доберется до нуля.

## Задание №2. Комплексная функция

Перед выполнением задания упомянем основные функции, что после пригодятся нам по заданию Формулы Эйлера:

$$\cos x = \frac{e^{ix} + e^{-ix}}{2} \quad \sin x = \frac{e^{ix} - e^{-ix}}{2i}$$

Наше преобразование:

$$\begin{aligned} a \cos \omega t + b \sin \omega t &= a \left( \frac{e^{i\omega t} + e^{-i\omega t}}{2} \right) + b \left( \frac{e^{i\omega t} - e^{-i\omega t}}{2i} \right) = \frac{a}{2} \left( e^{i\omega t} + e^{-i\omega t} \right) - \frac{ib}{2} \left( e^{i\omega t} - e^{-i\omega t} \right) = \\ &= \frac{a - ib}{2} e^{i\omega t} + \frac{a + ib}{2} e^{-i\omega t} = c e^{i\omega t} + \bar{c} e^{-i\omega t} \end{aligned}$$

Раскладывать будем ряд в  $[-\infty, \infty]$

$$f(t) = \sum_{n=-\infty}^{\infty} c_n e^{i\omega_n t}, \text{ где } \omega_n = \frac{2\pi n}{T}$$

Зададим  $R = 4$  и  $T = 8 \Rightarrow \omega = \pi n / 4$ . И получим по заданию следующую комплекснозначную параметрическую функцию:

$$\operatorname{Re} f(t) = \begin{cases} 4, & t \in [-1, 1], \\ -4t + 8, & t \in [1, 3], \\ -4, & t \in [3, 5], \\ 4t - 24, & t \in [5, 7], \end{cases} \quad \operatorname{Im} f(t) = \begin{cases} 4t, & t \in [-1, 1], \\ 4, & t \in [1, 3], \\ -4t + 16, & t \in [3, 5], \\ -4, & t \in [5, 7]. \end{cases}$$

График функции  $f(t)$  обозначим на комплексной плоскости:

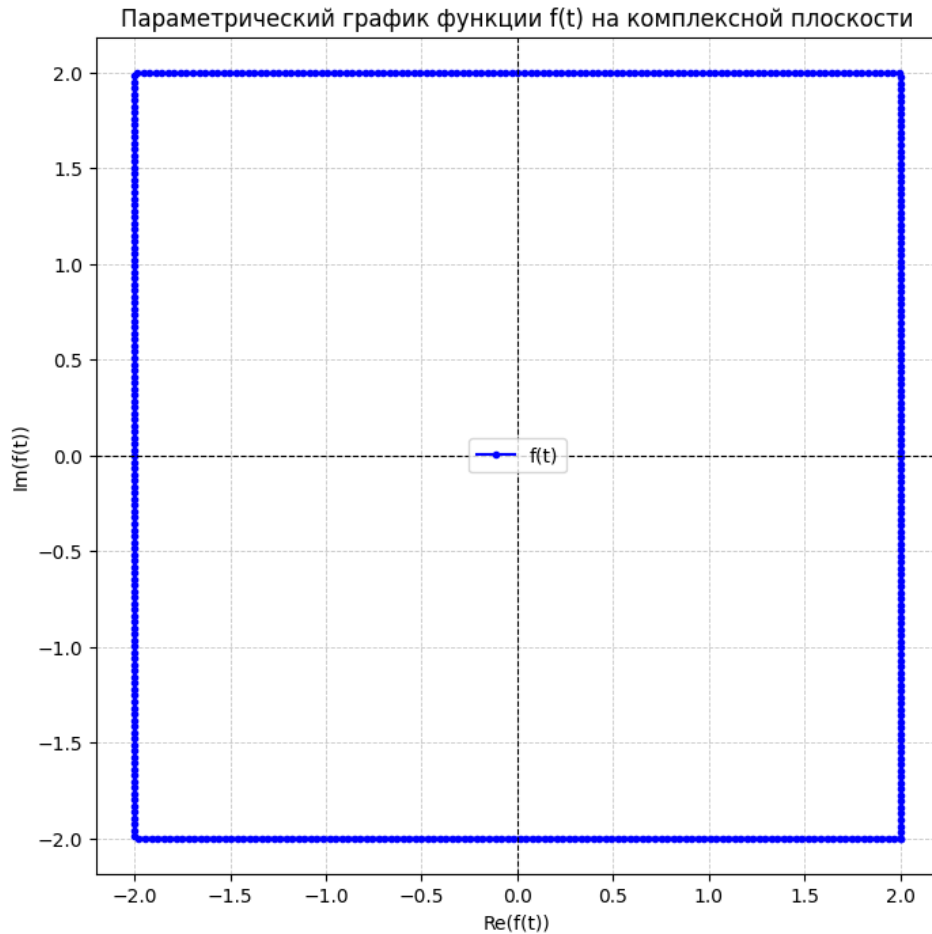


Рис. 24: График функции  $f(t)$

Результат это ни что иное как просто квадратик) Продолжаем работу

### Ручной счет

Теперь найдём коэффициенты Фурье  $c_n$  для этой функции, которые в общем виде вычисляются так:

$$\begin{aligned} c_n &= \frac{1}{8} \int_{-1}^7 f(t) e^{-i \frac{\pi n}{4} t} dt = \frac{1}{8} \left( \int_{-1}^1 (4 + 4ti) e^{-i \frac{\pi n}{4} t} dt + \int_1^3 (-4t + 8 + 4i) e^{-i \frac{\pi n}{4} t} dt + \right. \\ &\quad \left. + \int_3^5 (-4 + 16i - 4ti) e^{-i \frac{\pi n}{4} t} dt + \int_5^7 (4t - 24 - 4i) e^{-i \frac{\pi n}{4} t} dt \right) \end{aligned}$$

Считаем  $c_0, c_1, c_2$ :

$$\begin{aligned} c_0 &= \int_{-1}^1 \frac{(4 + 4ti)}{8} dt + \int_1^3 \frac{(-4t + 8 + 4i)}{8} dt + \int_3^5 \frac{(-4 + 16i - 4ti)}{8} dt + \int_5^7 \frac{(4t - 24 - 4i)}{8} dt = \frac{1}{8} (6 - 4i - 6 + 4i) = 0 \\ c_1 &= \int_{-1}^1 \frac{(4 + 4ti)}{8} e^{-i \frac{\pi}{4} t} dt + \int_1^3 \frac{(-4t + 8 + 4i)}{8} e^{-i \frac{\pi}{4} t} dt + \end{aligned}$$

$$\begin{aligned}
& + \int_3^5 \frac{(-4 + 16i - 4ti)}{8} e^{-i\frac{\pi}{4}t} dt + \int_5^8 \frac{(4t - 24 - 4i)}{8} e^{-i\frac{\pi}{4}t} dt \approx 5.459 - 0.2i \\
c_2 = & \int_{-1}^1 \frac{(4 + 4ti)}{8} e^{-i\frac{\pi}{4}t} dt + \int_1^3 \frac{(-4t + 8 + 4i)}{8} e^{-i\frac{\pi}{4}t} dt + \\
& + \int_3^5 \frac{(-4 + 16i - 4ti)}{8} e^{-i\frac{\pi}{4}t} dt + \int_5^8 \frac{(4t - 24 - 4i)}{8} e^{-i\frac{\pi}{4}t} dt \approx 0.839 + 0.116i
\end{aligned}$$

### Пункт для программы

Воспользуемся программой, которая вычисляет коэффициенты Фурье самостоятельно для любого  $n$ , чтобы найти требуемый в задании коэффициент  $c_3$  для функции  $f(t)$ :

```

1 def f_complex(t, R=2.0, T=8.0):
2     tau = (t + T / 8) % T
3     res = np.zeros_like(tau, dtype=complex)
4
5     mask1 = (0 <= tau) & (tau < T / 4)
6     mask2 = (T / 4 <= tau) & (tau < T / 2)
7     mask3 = (T / 2 <= tau) & (tau < 3 * T / 4)
8     mask4 = (3 * T / 4 <= tau) & (tau < T)
9
10    t_phys_1 = tau[mask1] - T / 8
11    Re_val_1 = R
12    Im_val_1 = (8 * R / T) * t_phys_1
13    res[mask1] = Re_val_1 + 1j * Im_val_1
14
15    t_phys_2 = tau[mask2] - T / 4 + T / 8
16    Re_val_2 = 2 * R - (8 * R / T) * t_phys_2
17    Im_val_2 = R
18    res[mask2] = Re_val_2 + 1j * Im_val_2
19
20    t_phys_3 = tau[mask3] - T / 2 + 3 * T / 8
21    Re_val_3 = -4 * R - (8 * R / T) * t_phys_3
22    Im_val_3 = 4 * R - (8 * R / T) * t_phys_3
23    res[mask3] = Re_val_3 + 1j * Im_val_3
24    t_phys_4 = tau[mask4] - 3 * T / 4 + 5 * T / 8
25    Re_val_4 = -6 * R + (8 * R / T) * t_phys_4
26    Im_val_4 = -R
27    res[mask4] = Re_val_4 + 1j * Im_val_4
28
29    return res

```

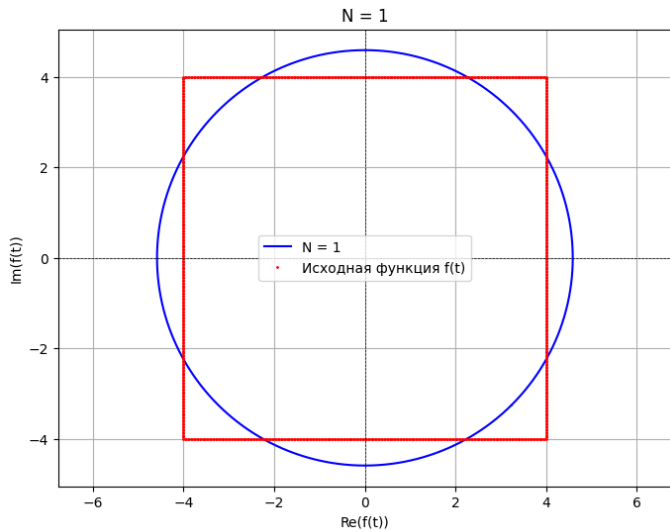
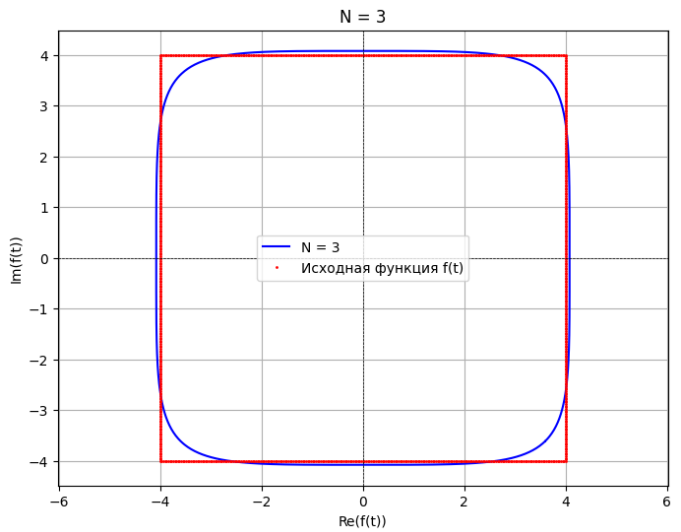
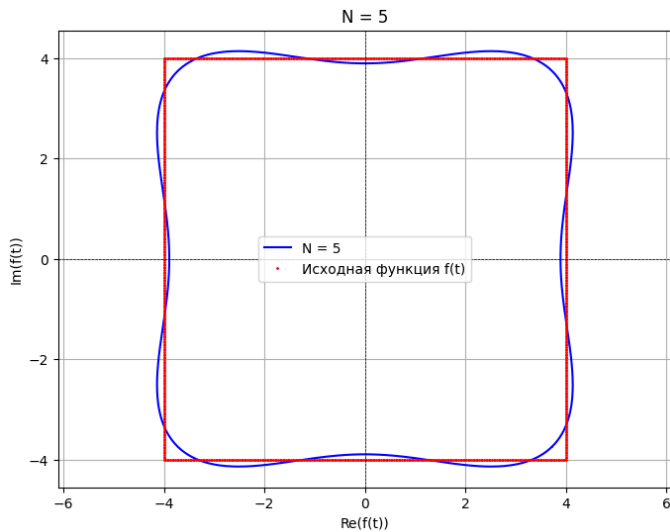
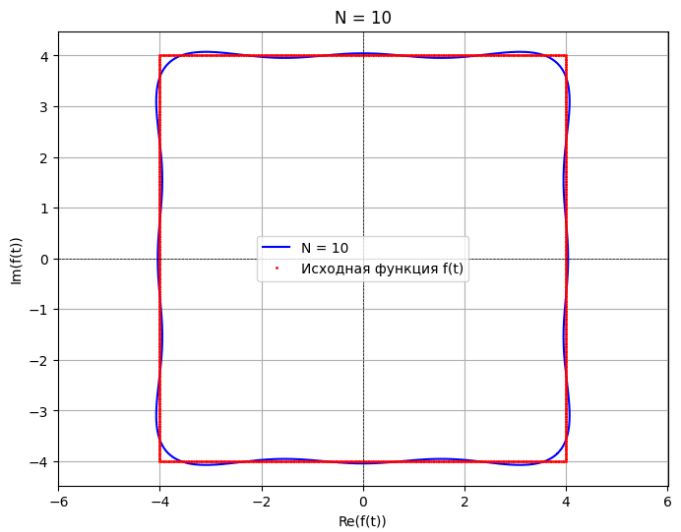
Листинг 14: Вычисление коэффициентов Фурье для функции  $f(t)$

Итак, программа выдаёт нам первые 4 коэффициента:

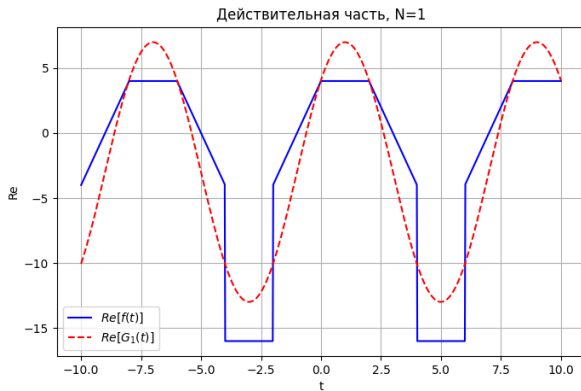
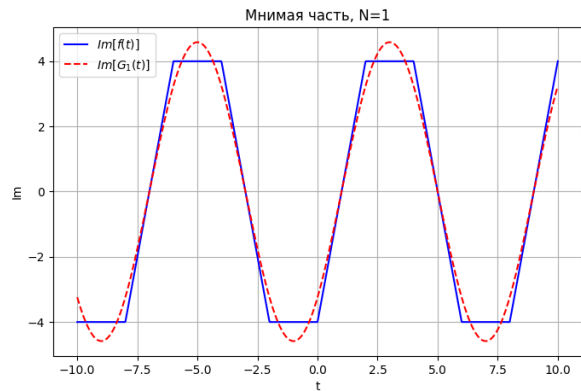
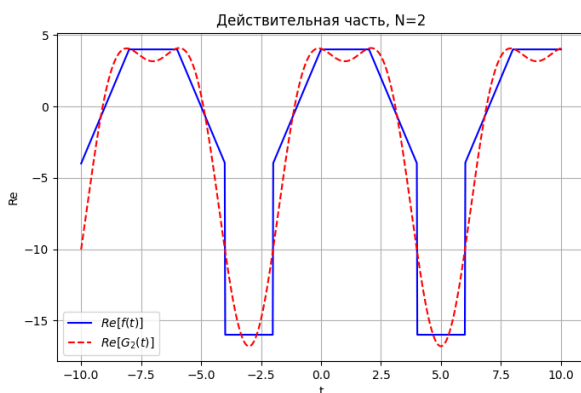
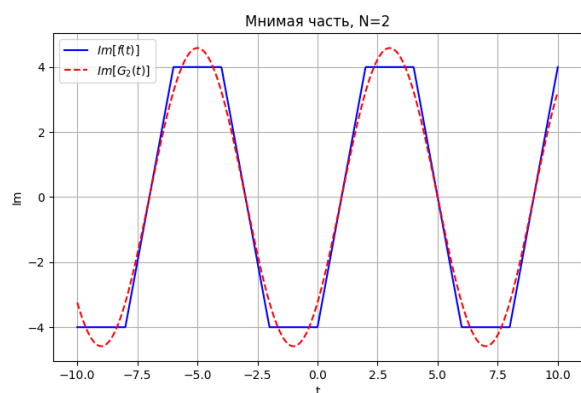
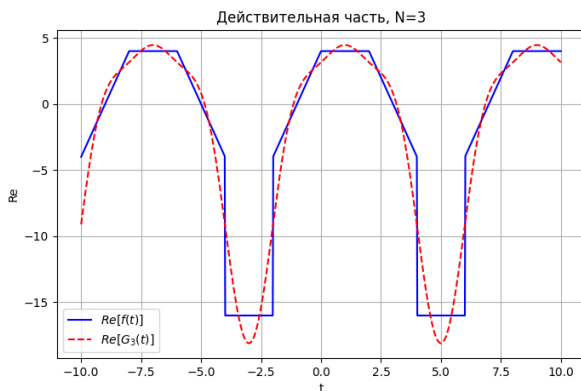
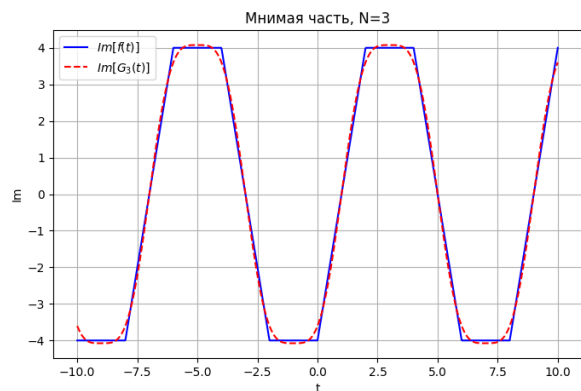
```
1 c_n = [-0.0-0.0j  5.45402 - 0.20294i  0.85934 + 0.11933i  -4.92350+0.38832j]
```

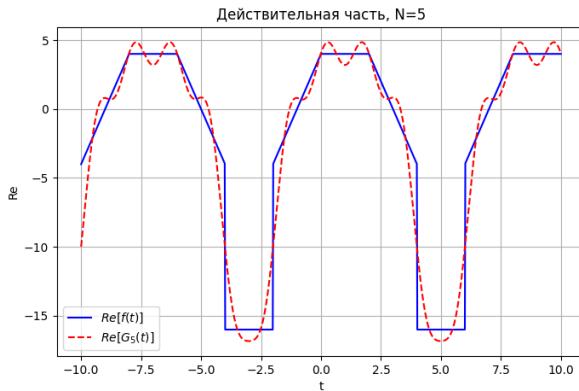
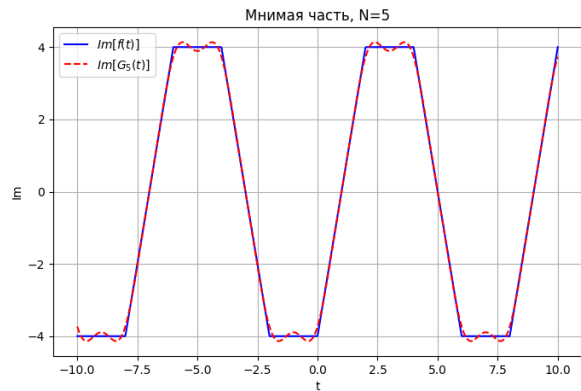
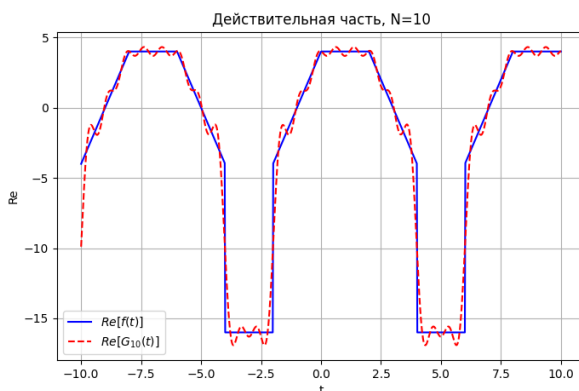
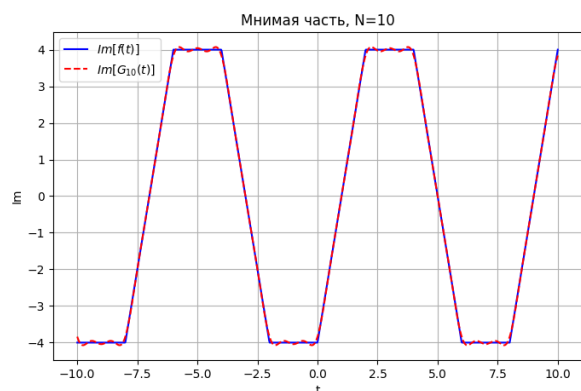
Листинг 15: Вывод программы

## Графики

Рис. 25:  $n = 1$ Рис. 26:  $n = 3$ Рис. 27:  $n = 5$ Рис. 28:  $n = 10$ 

Начиная с первых значений, вокруг квадрата формируется круг, который становится с увеличением гармоник всё больше похож на квадрат. Теперь построим графики  $\text{Re}(t)$  и  $\text{Im}(t)$  и посмотрим как ряд Фурье будет их аппроксимировать:

Рис. 29:  $Re \quad n = 1$ Рис. 30:  $Im \quad n = 1$ Рис. 31:  $Re \quad n = 2$ Рис. 32:  $Im \quad n = 2$ Рис. 33:  $Re \quad n = 3$ Рис. 34:  $Im \quad n = 3$

Рис. 35:  $Re \quad n = 5$ Рис. 36:  $Im \quad n = 5$ Рис. 37:  $Re \quad n = 10$ Рис. 38:  $Im \quad n = 10$ 

Наглядно видно, что ряд сходится как в вещественной так и в мнимой части

Чтобы убедиться в том, что при  $n = 10$  ряд Фурье очень точен к функции  $f(t)$ , проверим равенство Парсеваля

```
1 Parseval deviation:
2 | |f|^2 - sum(|a_i|^2 + |b_i|^2) | = 0.42457
3 | |f|^2 - sum(|c_i|^2) | = 0.42457
```

Листинг 16: Равенство Парсеваля при  $n = 1$

Результаты погрешности равенства Парсеваля наглядно подтверждают сходимость

```
Parseval check Fn: 0.0014644136
Parseval check Gn: 0.0014644154
```

Листинг 17: Равенство Парсеваля при  $n = 10$

## Подводим выводы, подытоживаем итоги

В ходе лабораторной работы мы изучили методы вычисления коэффициентов Фурье для различных функций и выяснили, что ряд Фурье может быть представлен как в тригонометрической, так и в комплексной формах.

Было установлено, что структура ряда Фурье зависит от чётности функции: для чётных функций отсутствуют синусные слагаемые, для нечётных — косинусные, а в общем случае ряд содержит оба типа слагаемых.

Мы наглядно убедились, что с увеличением числа членов ряда Фурье точность аппроксимации исходной функции возрастает, что подтверждается как графически (улучшение совпадения графиков ряда и функции), так и аналитически через выполнение равенства Парсеваля, где ошибка аппроксимации стремится к нулю с ростом числа коэффициентов.